Радиационные процессы в атмосфере и их описание в моделях.

Володин Е.М. ИВМ РАН.

E-mail: volodinev@gmail.com

Модель климатической системы включает в себя два основных блока:

модель общей циркуляции атмосферы и модель общей циркуляции океана,

а также дополнительные блоки: углеродный цикл, цикл метана, химию атмосферы, аэрозольный блок, параметризацию некоторых электрических явлений

Модель атмосферы включает в себя

- 1. Решение уравнений гидротермодинамики конечноразностным методом
- 2. Параметризацию атмосферной радиации
- 3. Параметризацию турбулентности в пограничном слое
- 4. Параметризацию потоков на поверхности, а также самой поверхности (растительность, почва, сток рек и др.)
- 5. Параметризацию конвекции и конденсации
- 6. Гравитационно-волновое сопротивление
- 7. Вспомогательные блоки (фильтрация у полюсов, горизонтальная диффузия,...)

Для расчета солнечного излучения на верхней границе атмосферы задаются:

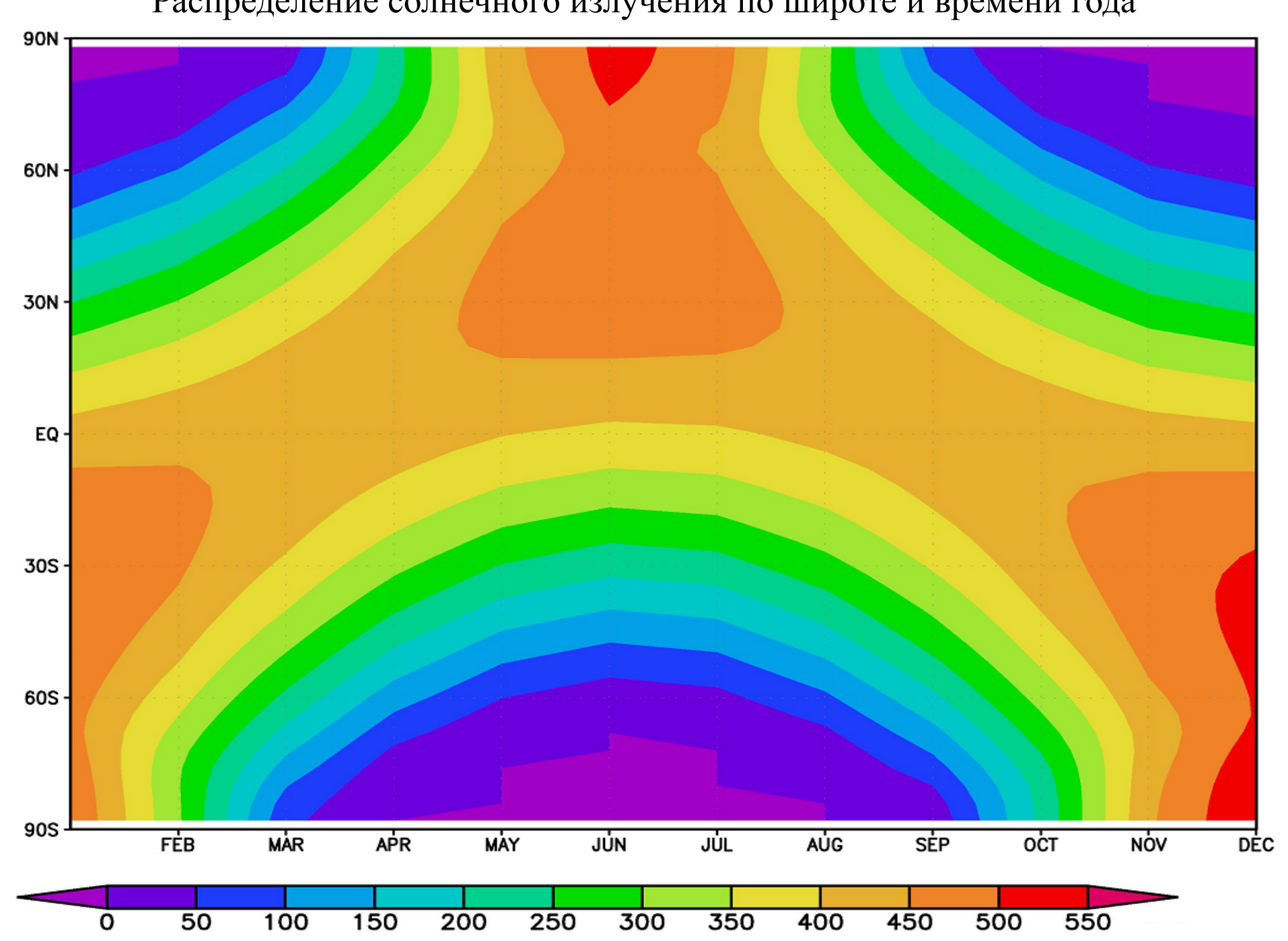
1. Солнечная постоянная

Параметры орбиты:

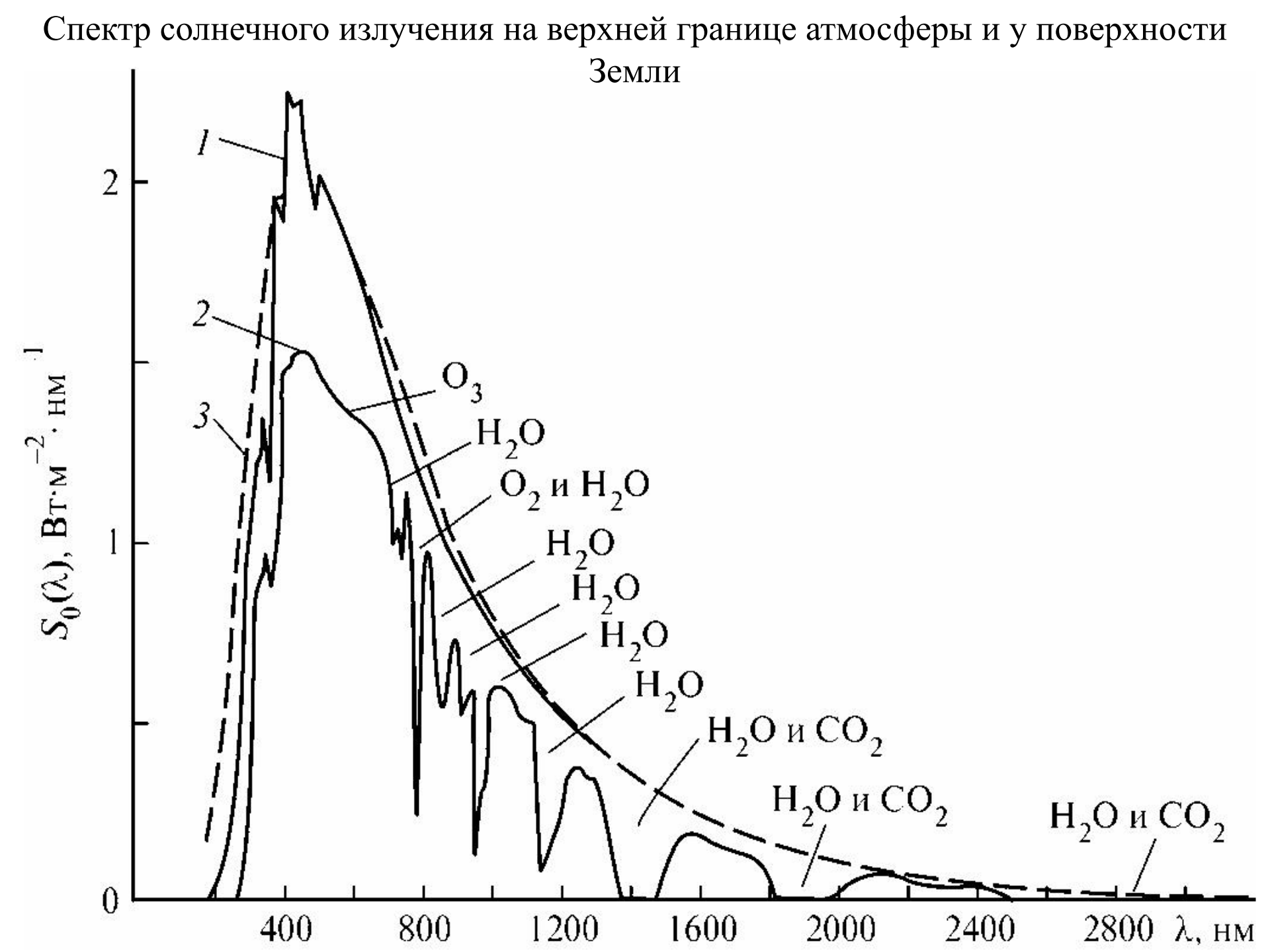
- 2. Наклон оси вращения Земли к плоскости Эклиптики. Сейчас 23.446 градусов
- 3. Эксцентриситет. Сейчас 0.0172
- 4. Дата перигелия. Сейчас начало января.

Годовой ход интегрального солнечного излучения приходящего к верхней границе атмосферы (Вт/м2) 354 351 348 345 342 -339 -336 333 330 FÉB 2000 JÚN JÚL SÉP ост MAR APR MAY ΑÚG NOV DĖC

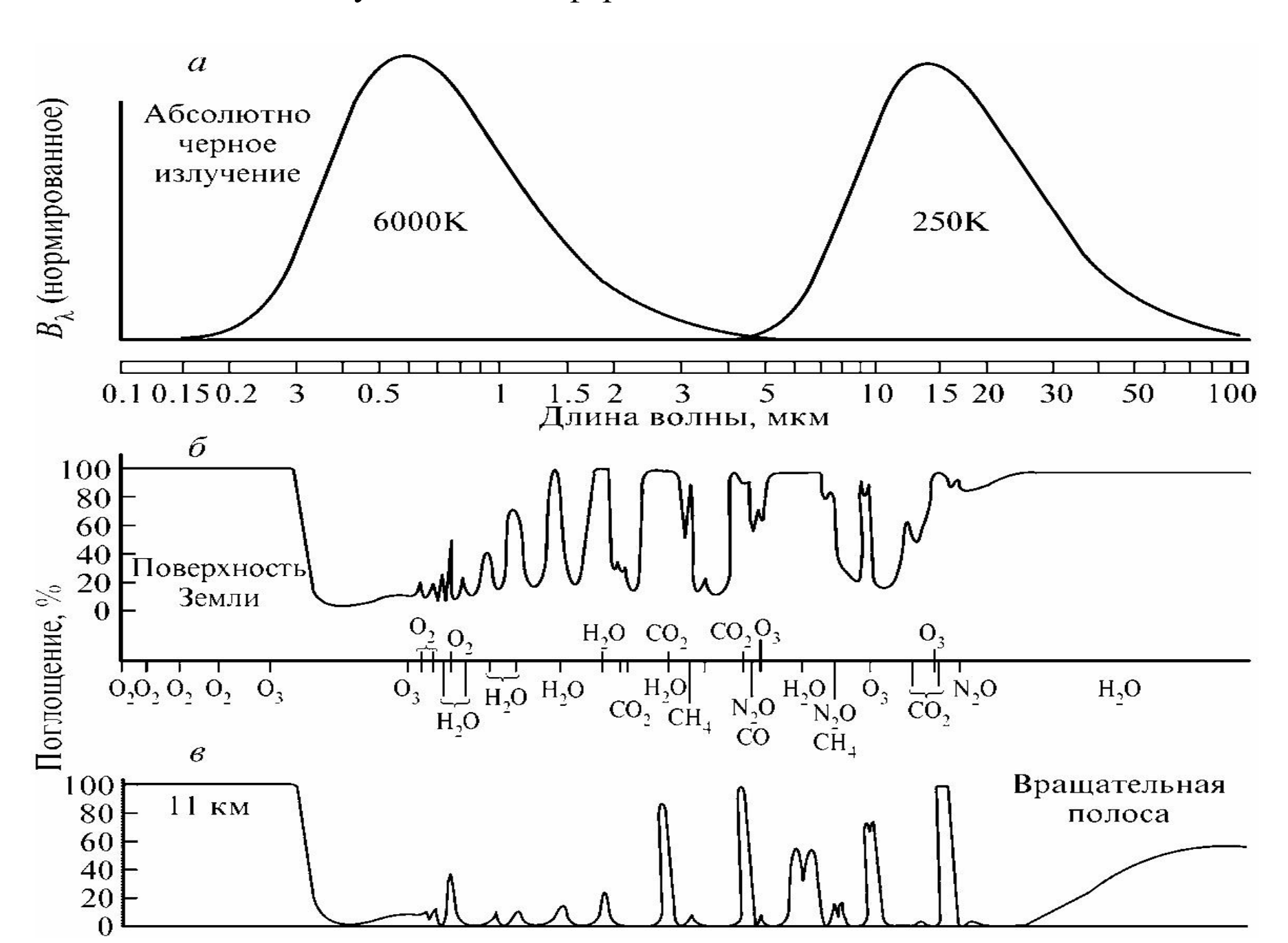
Распределение солнечного излучения по широте и времени года



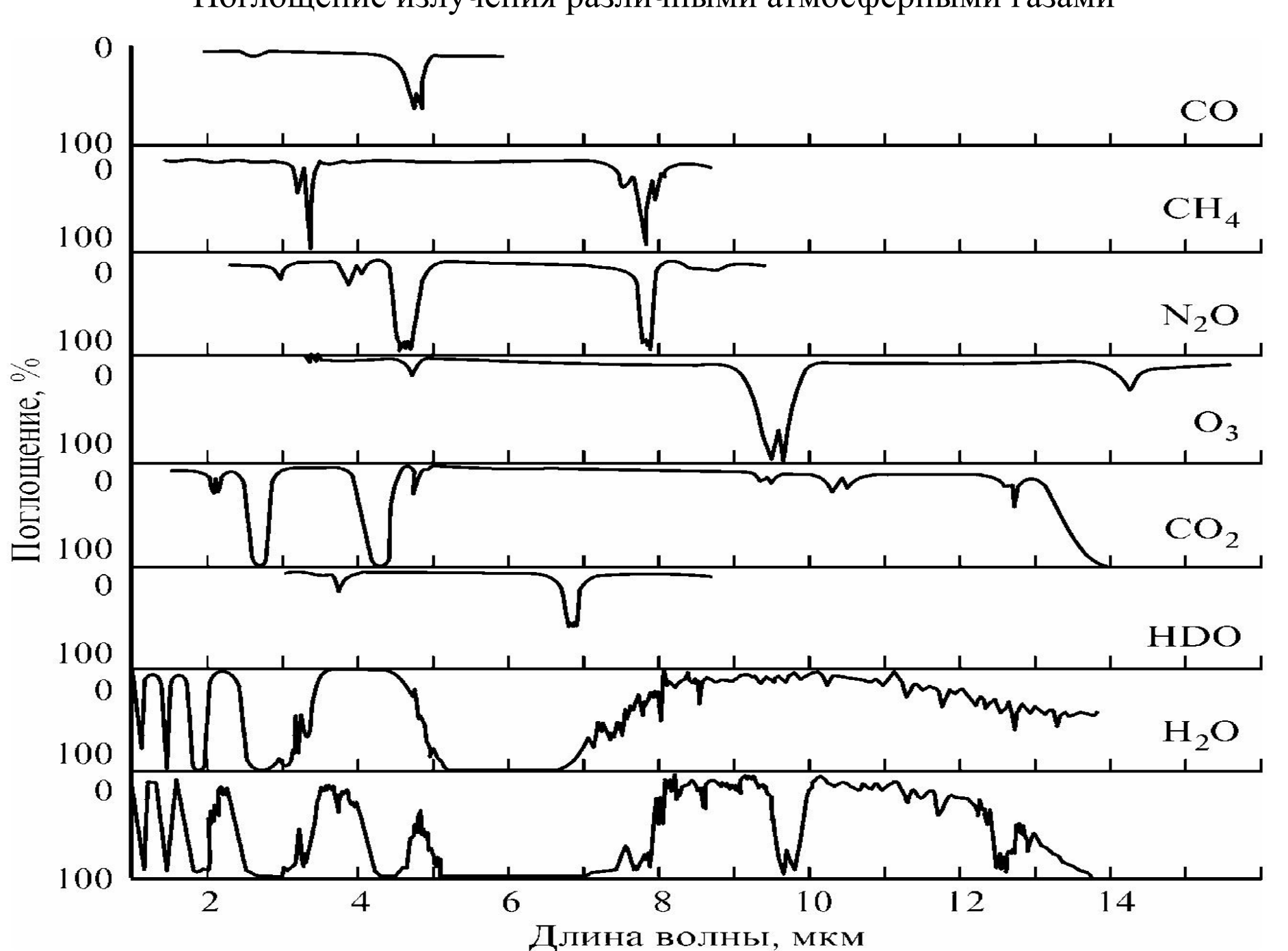
Спектр солнечного излучения на верхней границе атмосферы по сравнению со спектром идеального черного тела. Рисунки из:Тимофеев ЮМ, Васильев АВ. Основы тфоретической атмосферной оптики. СПБ, 2007. Солнце Радио УФ ИК 0 Вид. $\lg S_0(\lambda) \cdot \lambda / 10, \operatorname{BT} \cdot \operatorname{M}^{-2}$ Солнце 6 Спокойное Солнце Вспышка -105785 K -12Черное тело -140 lg λ, см

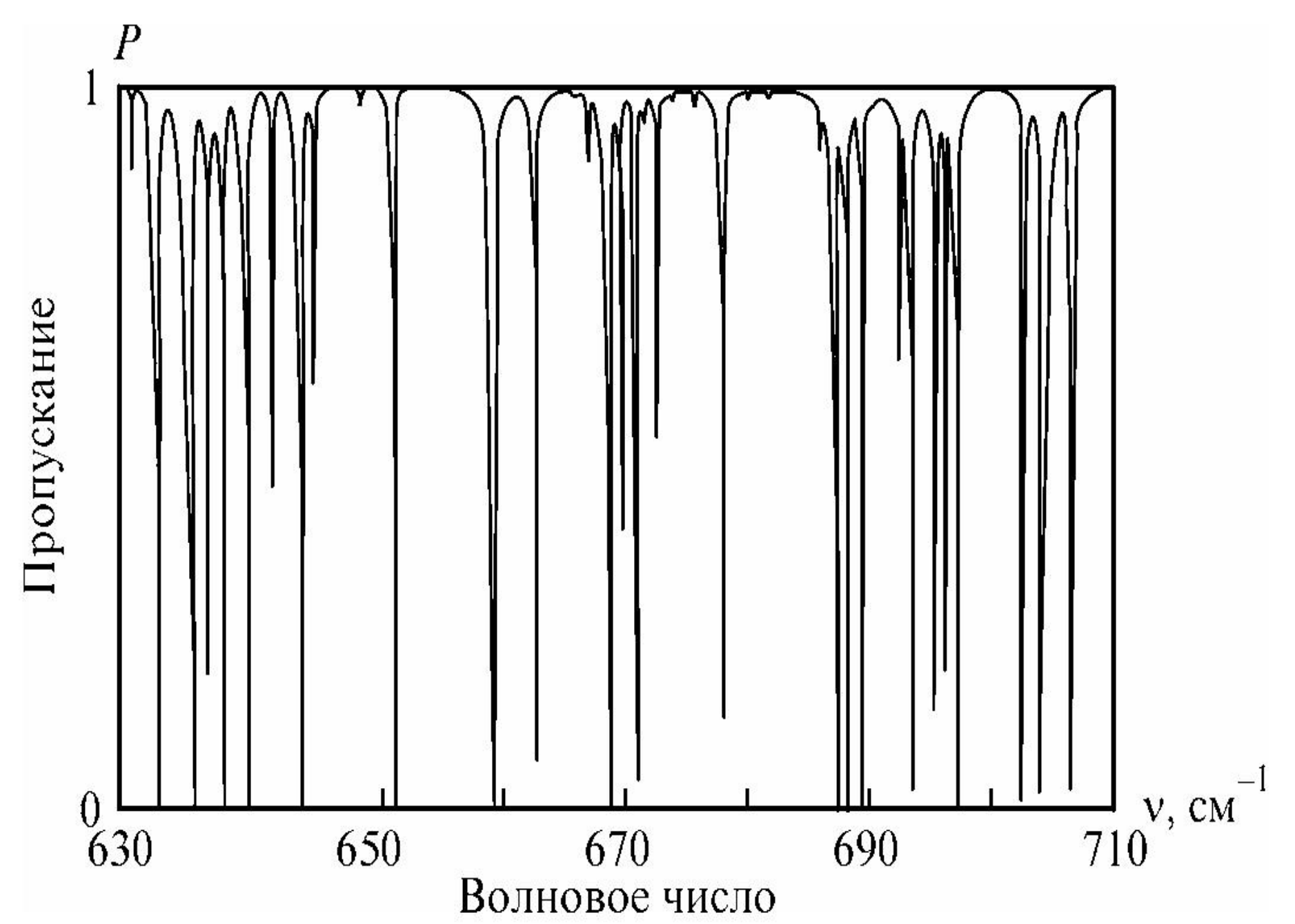


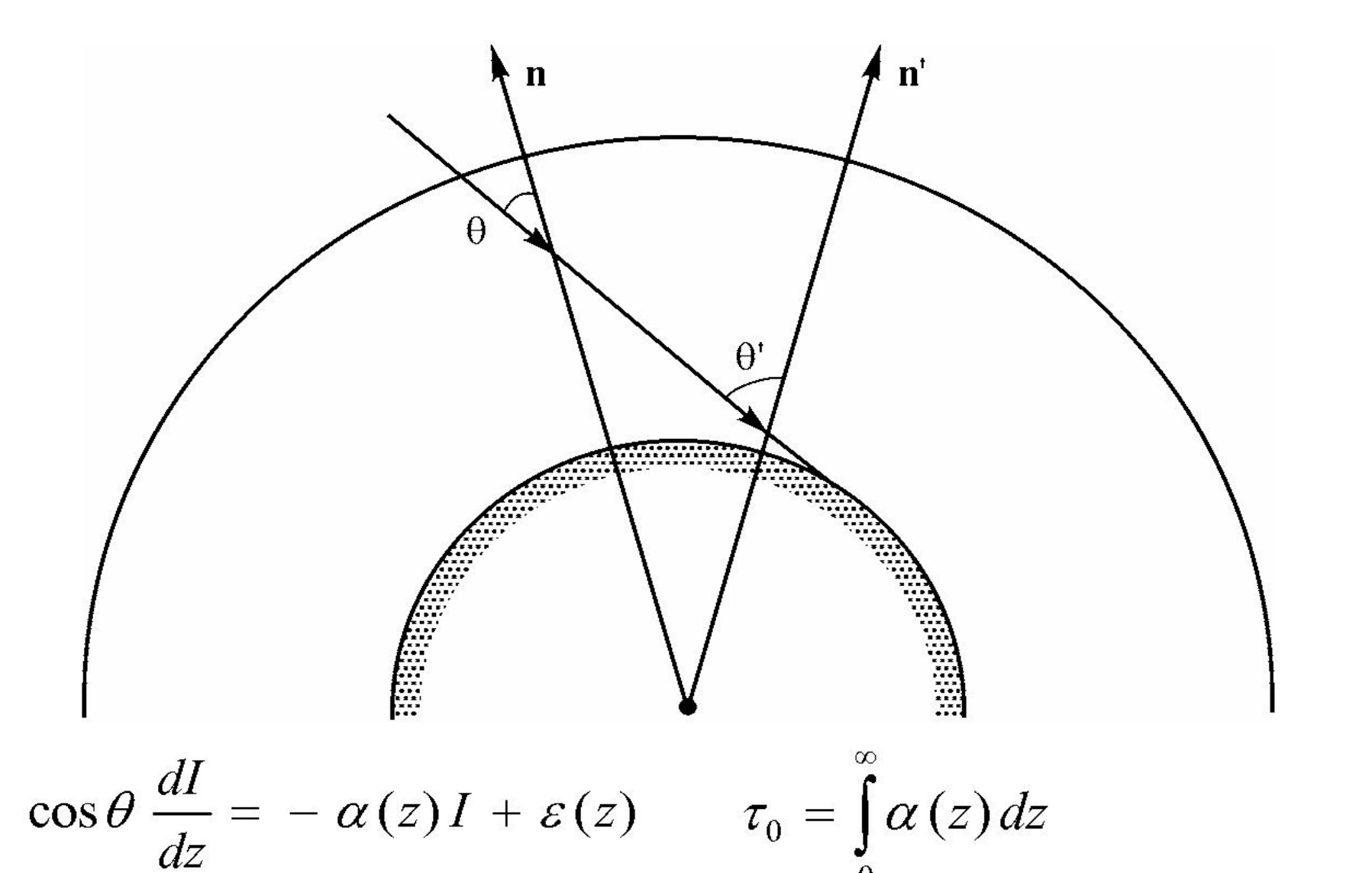
Поглощение излучения атмосферой в солнечном и тепловом диапазоне.



Поглощение излучения различными атмосферными газами

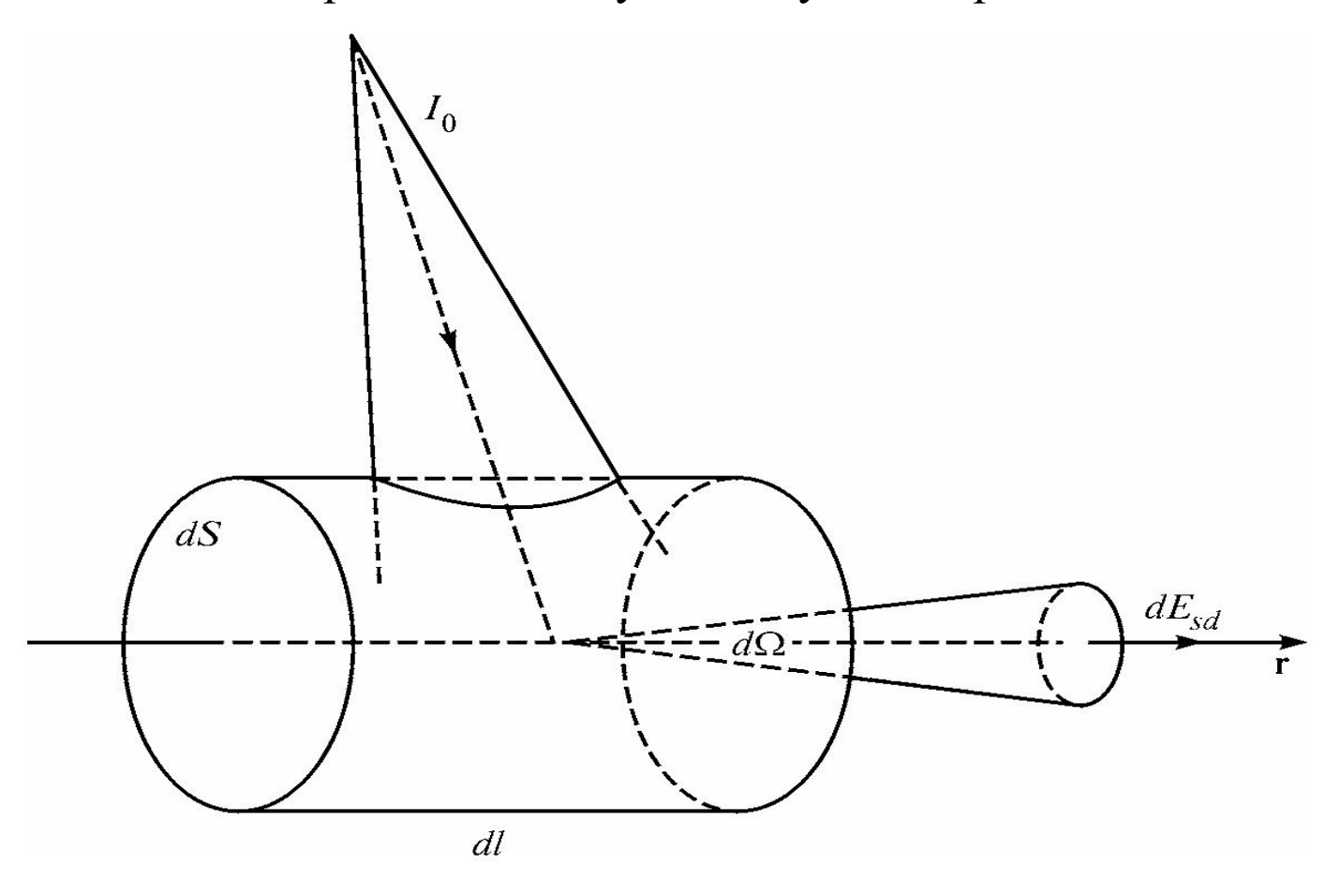






$$I(z) = I_0 \exp\left(-\sec\theta \int_0^z \alpha(z') dz'\right)$$

Уравнение в случае ненулевого рассеяния



$$\cos\theta \frac{dI}{dz} = -\alpha(z)I + \frac{1}{4\pi}\sigma(z)\int_{4\pi}x(z,\vec{r})I(\vec{r})d\Omega$$

Приближения:

- 1. Весь спектральный диапазон разбивается лишь на небольшое количество интеравлов.
- 2. Плоско-параллельное приближение.
- 3. Двухпотоковое приближение (поток излучения вверх и вниз).

Атмосферная радиация: длинноволновое излучение

Номер интервала	Спектральная ширина (см ⁻¹)	Поглощающие компоненты	Доля излучения при 250 <i>K</i> (%)
1	0 - 340	H_2O	17.28
2	340 - 540	H_2O	24.35
3	540 - 620	H_2O ,конт., CO_2 , N_2O	9.69
4	620 - 720	H_2O ,конт., CO_2	10.96
5	720 - 800	H_2O ,конт., CO_2	7.57
6	800 - 980	H_2O ,конт.	12.90
7	980 - 1100	H_2O ,конт., O_3	5.77
8	1100 - 1380	H_2O ,конт., CH_4 , N_2O	7.40
9	1380 - 1900	H_2O	3.60
10	1900 - 3000	H_2O	0.47

Для расчета нисходящих и восходящих потоков теплового излучения в модельной атмосфере используются формулы:

$$F_{\Delta\nu}^{\downarrow}(p) = -\int_{0}^{p} B_{\Delta\nu}[T(p')] \frac{\partial \tau_{\Delta\nu}(p, p')}{\partial p'} dp',$$

$$\pi_{\Delta\nu}(p, p') + \int_{0}^{p_{s}} B_{\mu\nu}[T(p')] \frac{\partial \tau_{\Delta\nu}(p, p')}{\partial \tau_{\Delta\nu}(p, p')} dp',$$
(108)

$$F_{\Delta\nu}^{\uparrow}(p) = B_{gr}\tau_{\Delta\nu}(p,p') + \int_{p}^{p_s} B_{\Delta\nu}[T(p')] \frac{\partial \tau_{\Delta\nu}(p,p')}{\partial p'} dp', \tag{108}$$

$$B_{gr} = \delta_{\Delta\nu} B_{\Delta\nu}(T_s) + (1 - \delta_{\Delta\nu}) F_{\Delta\nu}^{\downarrow}(p_s),$$

где p , p_s — давление в атмосфере и на подстилающей поверхности, T_s , $\delta_{\Delta\nu}$ — температура и излучательная способность этой поверхности, $B_{\Delta\nu}(T)$ — функция Планка, проинтегрированная по спектральному участку $\Delta\nu$, $\tau_{\Delta\nu}(p,p')$ — функция пропускания диффузного излучения между уровнями p и p'.

Функции пропускания водяного пара, углекислого газа, а также континуальное поглощение водяным паром представлены в виде к-распределений:

$$\tau(W) = \sum_{i=1}^{6} c_i \exp(-1.66 k_i W), \tag{109}$$

(111)

где W – эффективная масса поглощающего вещества в слое (p,p'), определенная с учетом профилей температуры и давления в этом слое. Таблицы козффициентов c_i, k_i приведены в работе [30]. Функция пропускания озона в полосе 9.6 мкм трудно поддается подобному разложению. Поэтому для озона используются таблицы двухпараметрического представления типа Куртиса-Годсона, приведенные в работе [29]. Функции пропускания метана CH_4 и закиси азота N_2O приведены в работе [28]:

$$\tau(W) = \exp\left(-\frac{aW}{1 + bW^n}\right). \tag{110}$$

 $\tau_{CH_*} = 0.41 + 0.59 \,\tau$

для
$$CH_4$$
:

для N_2O :

Здесь τ , τ_1 , τ_2 определяются по (110) для соответствующего газа. Для закиси азота в полосе 8 введены целых два подынтервала, каждый со своей функцией пропускания. Поэтому средневзвешенная по $\Delta
u$ функция пропускания определяется таким двухэтапным способом.

Переход к конечно-разностным выражениям приводит к формулам:

$$F_n^{\downarrow} = -\sum_{m=1}^{n-1} B_m^* (\tau_{nm} - \tau_{nm+1}), \qquad n = 2, N,$$

$$F_n^{\uparrow} = B_{gr} \tau_{nm} + \sum_{m=n}^{N-1} B_m^* (\tau_{nm} - \tau_{nm+1}), \qquad n = 1, N-1,$$
(119)

Коротковолновое излучение

номер	длина волны, нм
1	0-200
2	200-245
3	245-265
4	265-275
5	275-285
6	285-295
7	295-305
8	305-350
9	350-700
10	700-5000

В солнечной части спектра учитывается взаимодействие излучения со следующими веществами: О₃, О₂, СО₂, Н₂О, облака, аэрозоли.

Для вещества I определяем оптическую толщину τ , альбедо однократного рассеяния ω и параметра асимметрии индикатрисы рассеяния g.

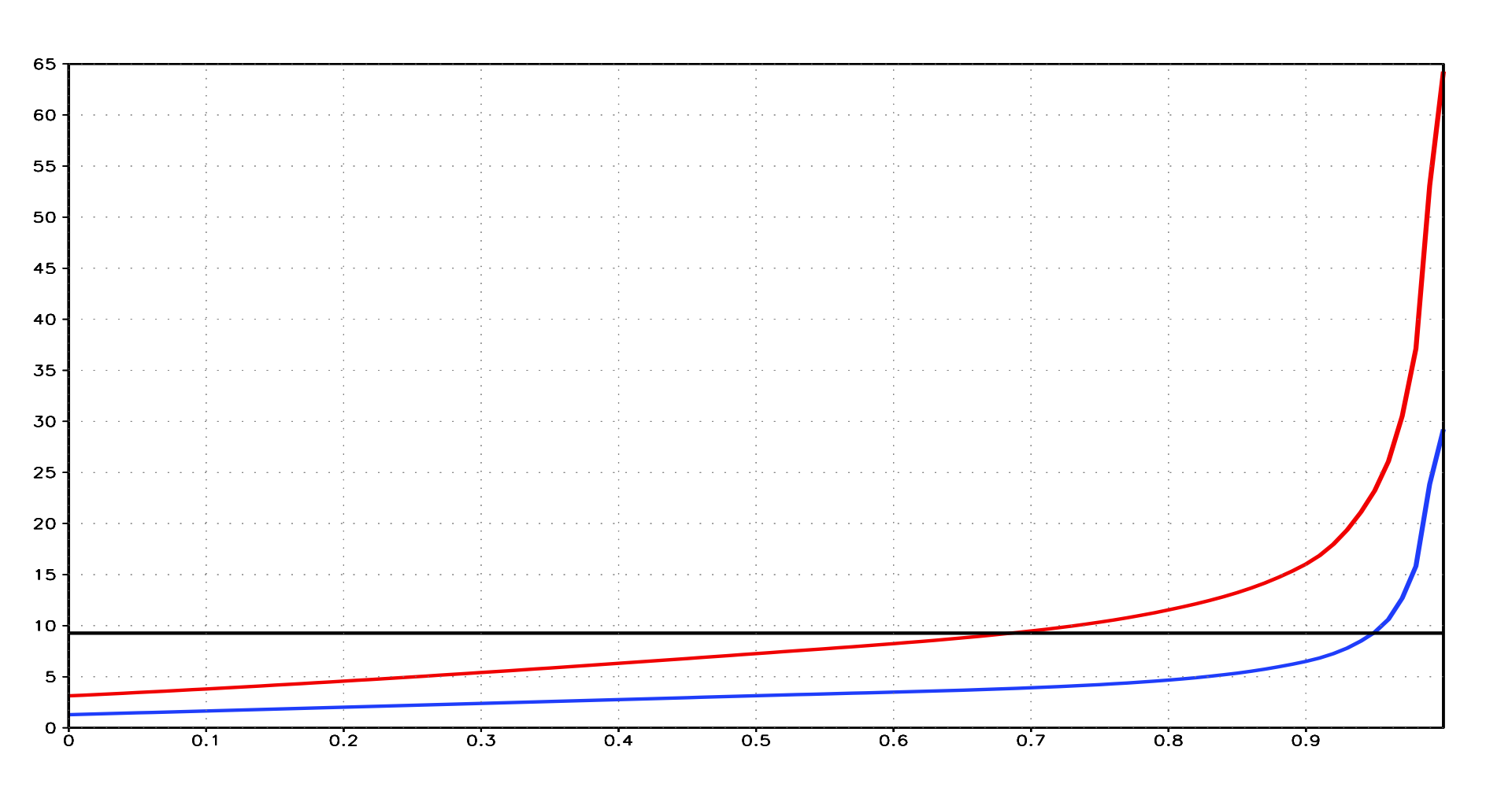
Суммарные оптические характеристики для всего модельного слоя вычисляются следующим образом:

$$\tau = \sum \tau_i$$

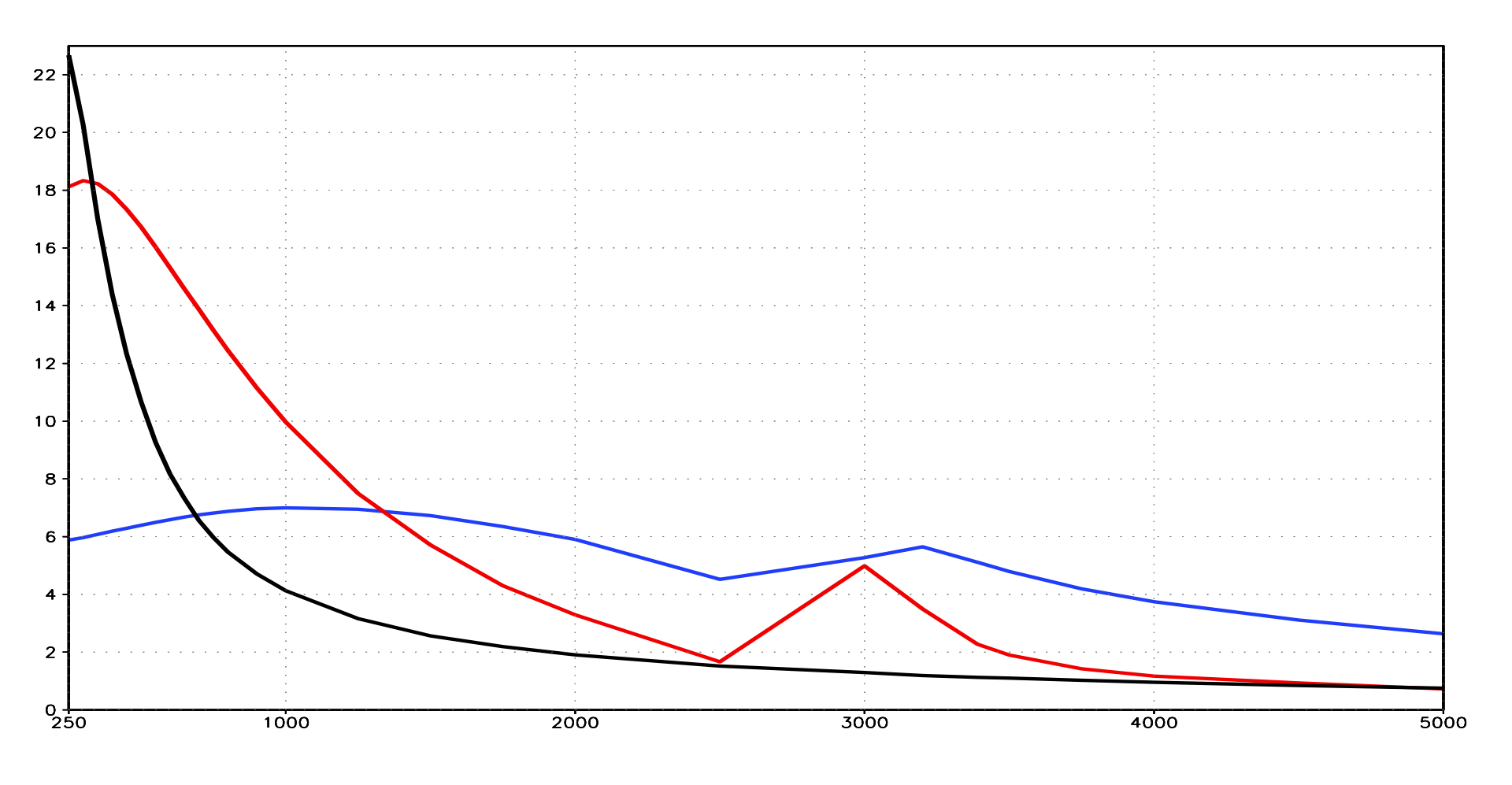
$$au = \sum au_i,$$
 $\omega = rac{\sum \omega_i \, au_i}{ au},$

$$g = \frac{\sum g_i \,\omega_i \,\tau_i}{\omega \,\tau},$$

Зависимость k от относительной влажности для пыли (черн), морской соли (синий), сульфатного аэр. (красный)



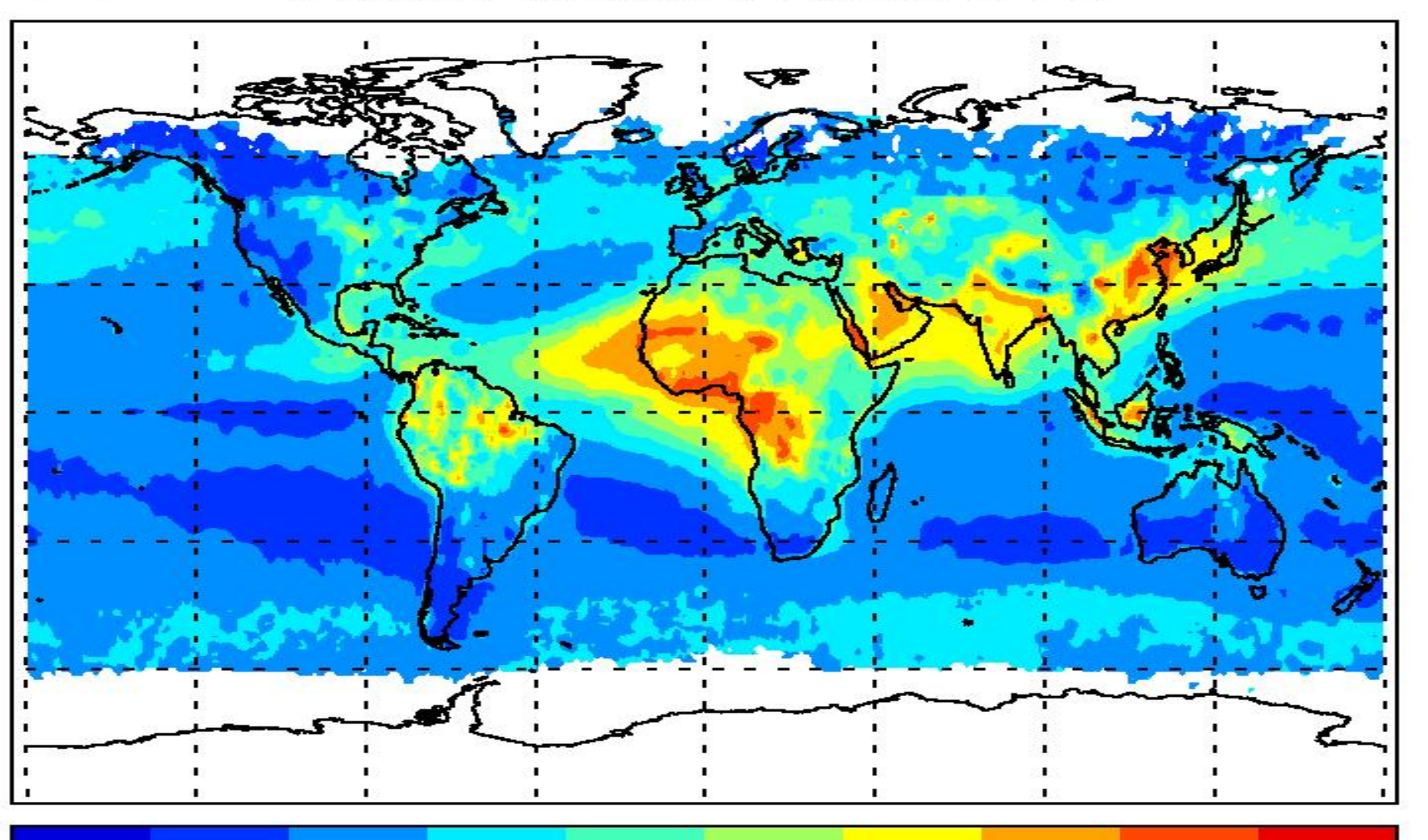
Зависимость к-та поглощения пыли (черн), соли (синий) и сульфатов (красн) от длины волны. rhum=0.90



Учет малых газовых составляющих в модели климата:

- O2, CO2, CH4, N2O предписанная концентрация, одна и та же во всей атмосфере
- O3 предписанное трехмерное распределение, зависящее от времени
- H2O, облака моделируемое трехмерное распределение, зависящее от времени
- Аэрозоли: мелкая и крупная морская соль, мелкая и крупная минеральная пыль, сульфатный аэрозоль, сажа, органический углерод. Моделируемое трехмерное распределение, зависящее от времени.

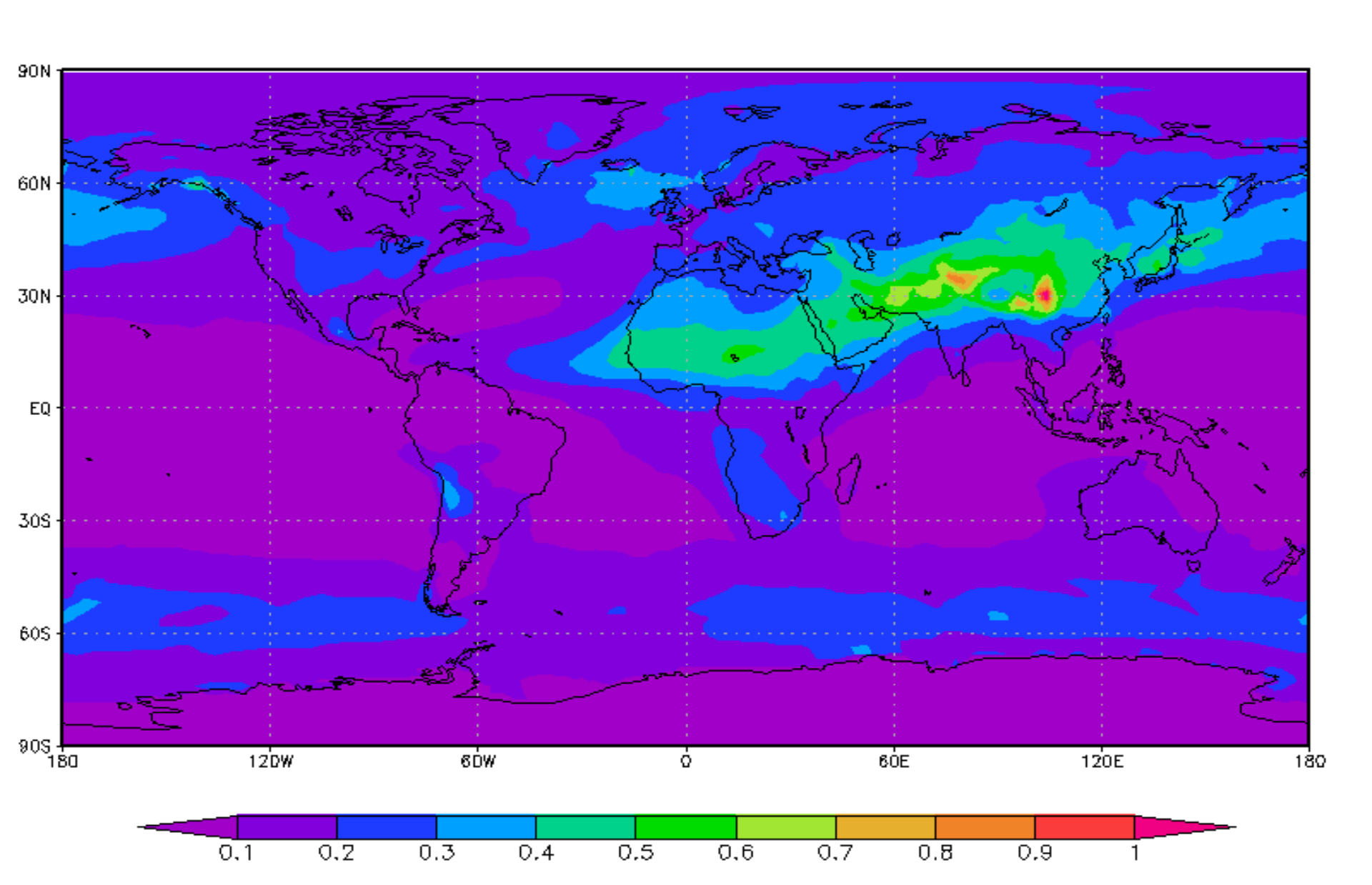
AOD MISR+MODIS



0.05 0.10 0.15 0.20 0.25 0.30 0.40 0.50 0.75 1.00

Оптическая толщина аэрозолей для 550 нм

Total AOD at λ =550nm, $<\tau_{sso}>=0.1578$



Для нисходящего D и восходящего U потока излучения решаются следующие уравнения:

$$\frac{dD}{d\tau} = \gamma_2 U - \gamma_1 D + f_1,$$

$$\frac{dU}{d\tau} = \gamma_1 U - \gamma_2 D + f_2,$$

$$f_1 = \pi S_0 \omega \gamma_4 e^{-\tau/\mu_0},$$

$$f_2 = -\pi S_0 \omega \gamma_3 e^{-\tau/\mu_0}$$

с граничными условиями при $\tau = 0$ и $\tau = \tau_0$ соответственно:

$$D_1 = 0$$
,

$$U_{L+1} = A_{dif}D_{L+1} + A_{dir}\pi S_0 \mu_0 e^{-\tau_0/\mu_0}.$$

В приближении дельта-Эддингтона константы определяются как

$$\gamma_1 = (7 - \omega(4 + 3g))/4,$$
 $\gamma_2 = -(1 - \omega(4 - 3g))/4,$
 $\gamma_3 = (2 - 3g\mu_0)/4,$
 $\gamma_4 = 1 - \gamma_3.$

Для учета радиационных свойств облачности должна быть использована гипотеза о перекрывании облаков, находящихся на различных уровнях. В данном случае считается, что существуют облака трех ярусов:

верхние (выше 400 гПа),

средние (400-700 гПа),

нижние (ниже 700 гПа).

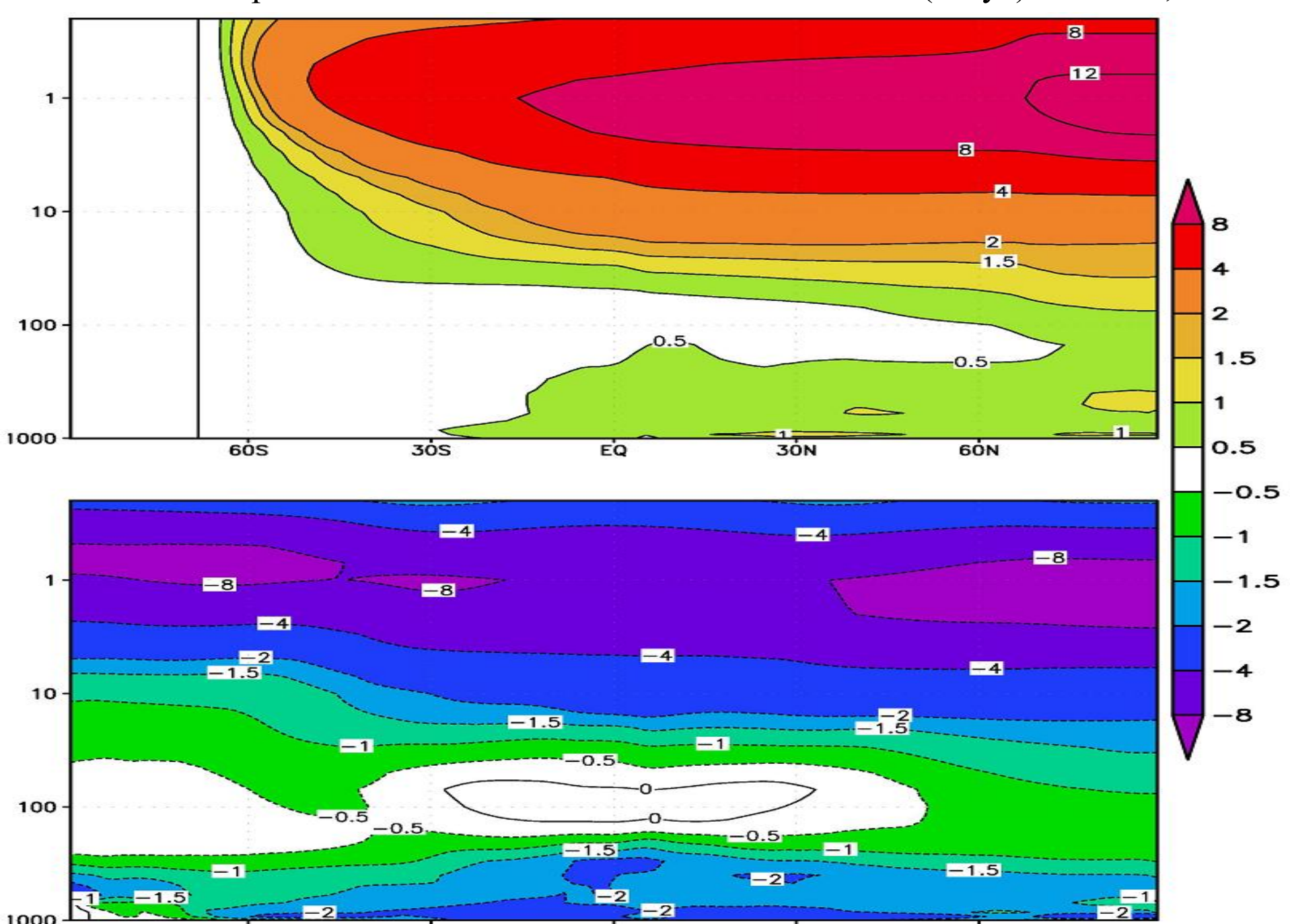
Считается, что внутри каждого яруса реализуется максимальное перекрывание, между ярусами — случайное.

В общем случае надо в каждой ячейке модельной сетки рассматривать случаи: ясное небо, облака верхнего яруса, облака среднего яруса, облака нижнего яруса, облака верхнего и среднего яруса, верхнего и нижнего, среднего и нижнего, верхнего среднего и нижнего ярусов. Всего 8 случаев.

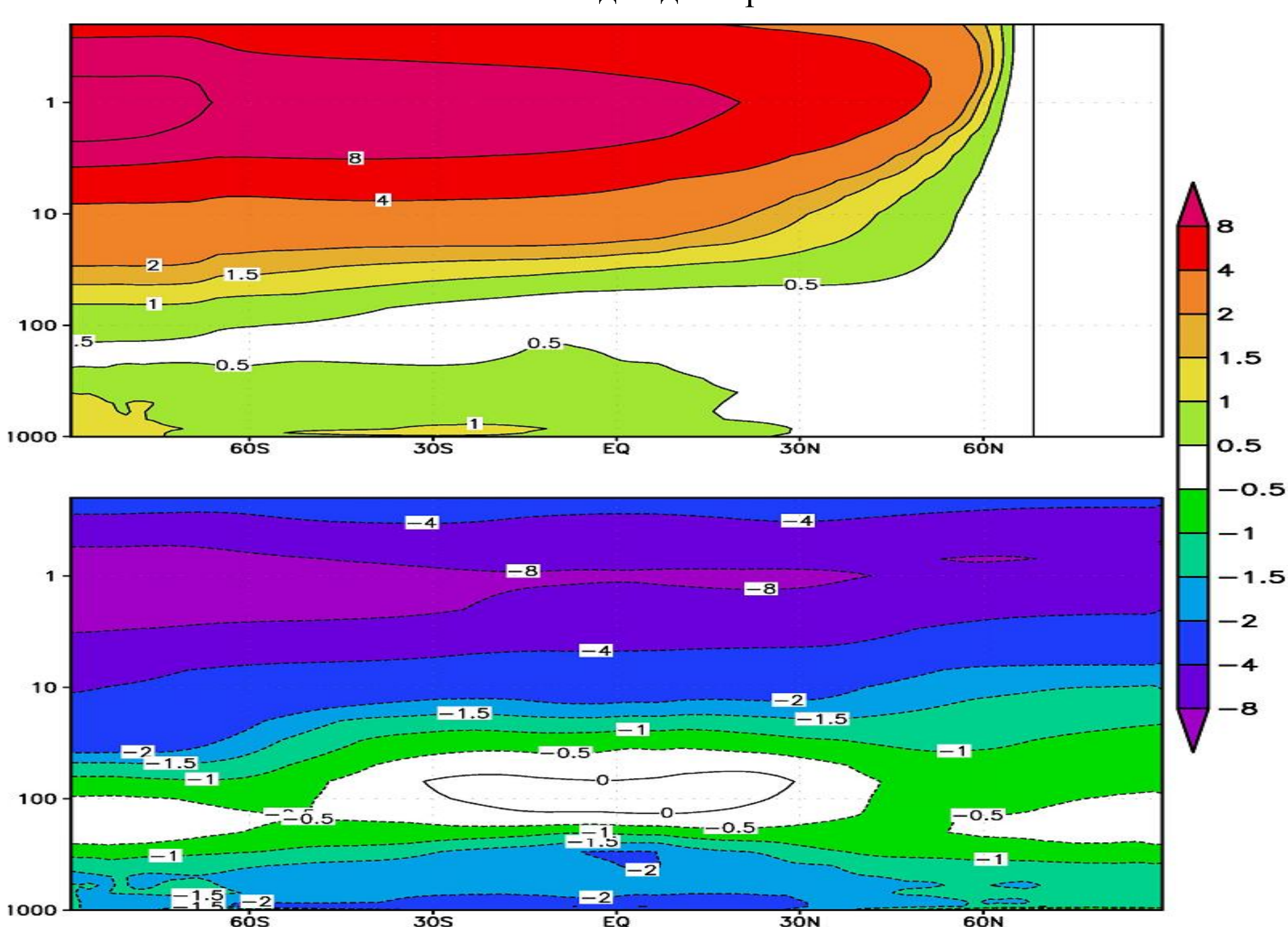
Окончательно для тенденции температуры имеем:

$$\rho C_P \partial T/\partial t = \partial (F \downarrow + D - F \uparrow - U)/\partial z$$

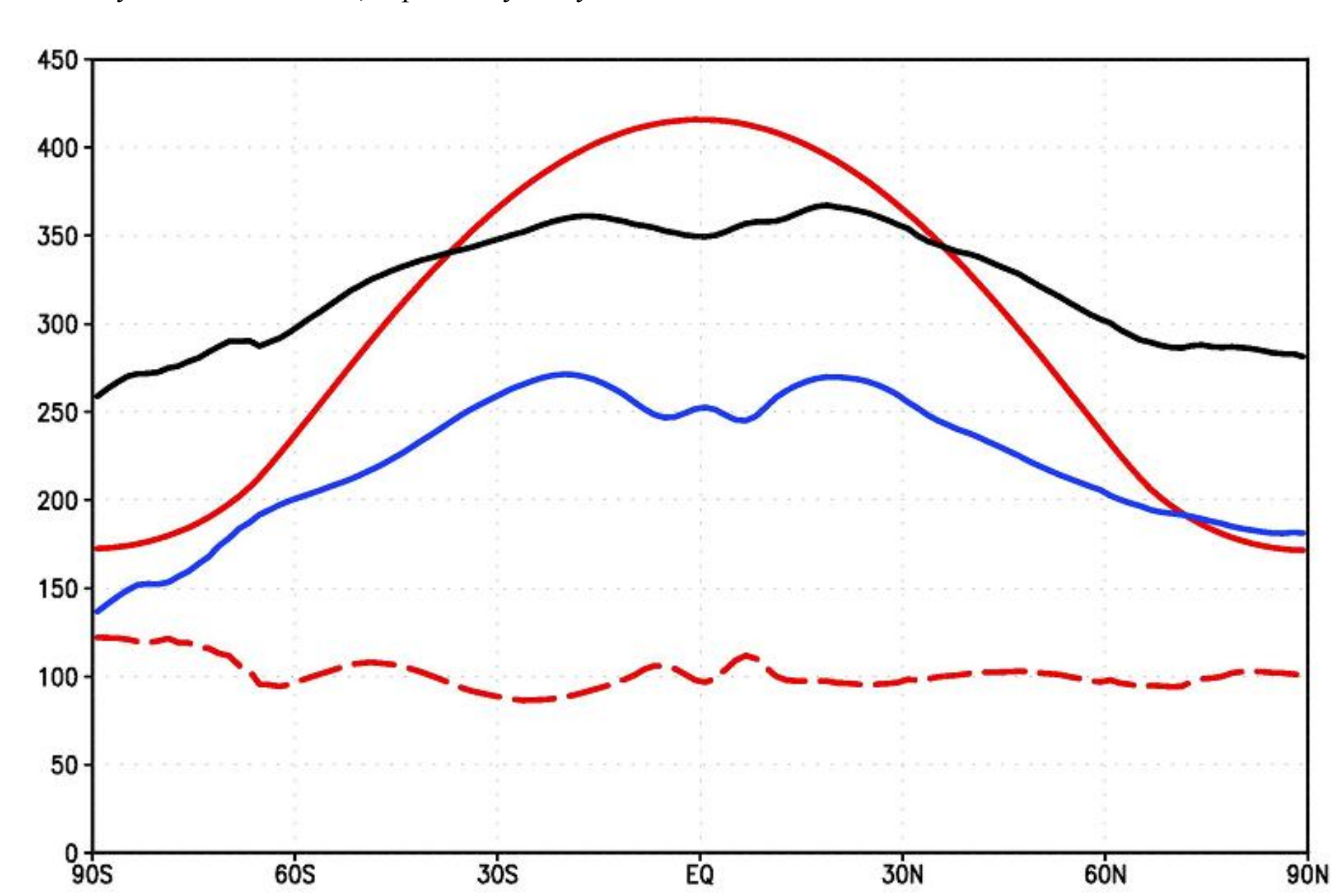
Солнечное нагревание и длинноволновое выхолаживание (К/сут)в модели, июнь

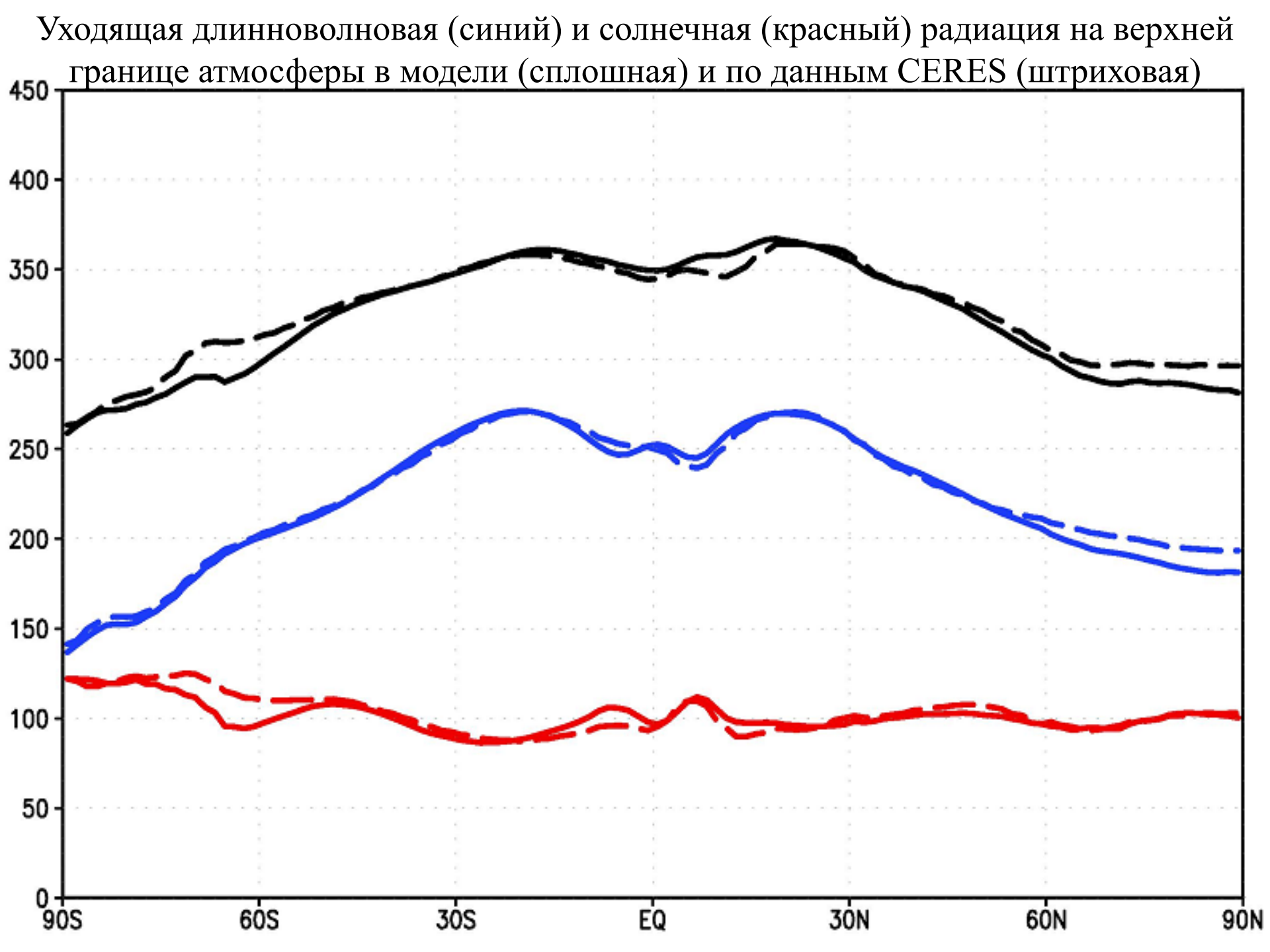


То же для декабря

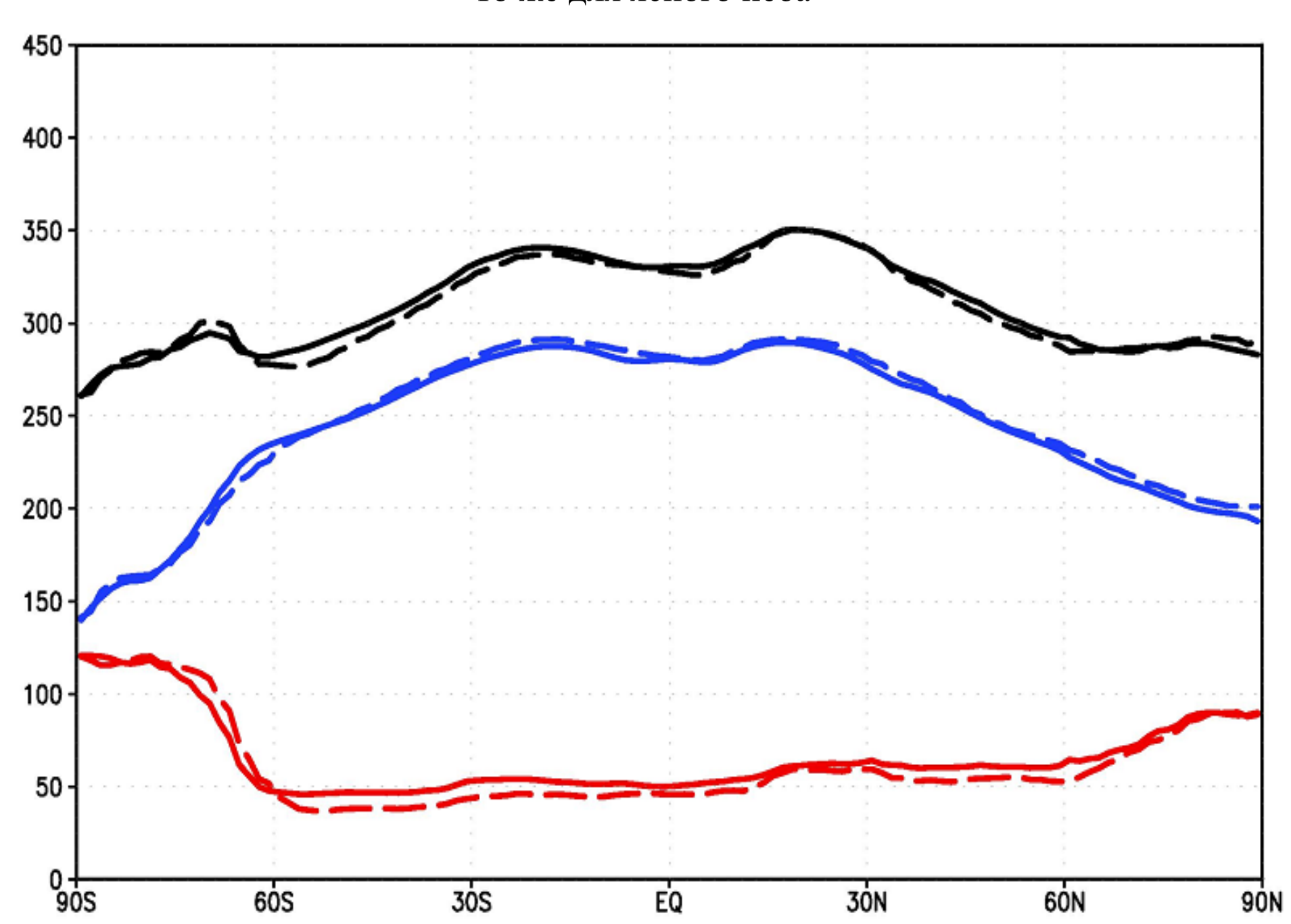


Среднегодовые потоки радиации (Вт/м2) на верхней границе атмосферы в модели климата. Сплошная красная линия — приходящая солнечная радиация, штриховая красная линия — уходящая солнечная, синяя — уходящая тепловая, черная — сумма уходящей солнечной и тепловой.





То же для ясного неба



Радиационно-облачный форсинг (Вт/м2) на верхней границе атмосферы по данным модели климата (красный) и данных CERES, Loeb et al. (2009) (черный) в солнечном диапазоне (вверху), тепловом

диапазоне (в середине) и их сумма (внизу). 0 -10-20 -30-40 -50 -60-70 -80 60S 305 Ε̈́Q 30N 60N 50 45 40 35 30 25 20 15 10 5 0 60s 30s EQ 30N 60N 10 5 0 -10-15 -20 -25-30 -35 -40-45 -50

ΕQ

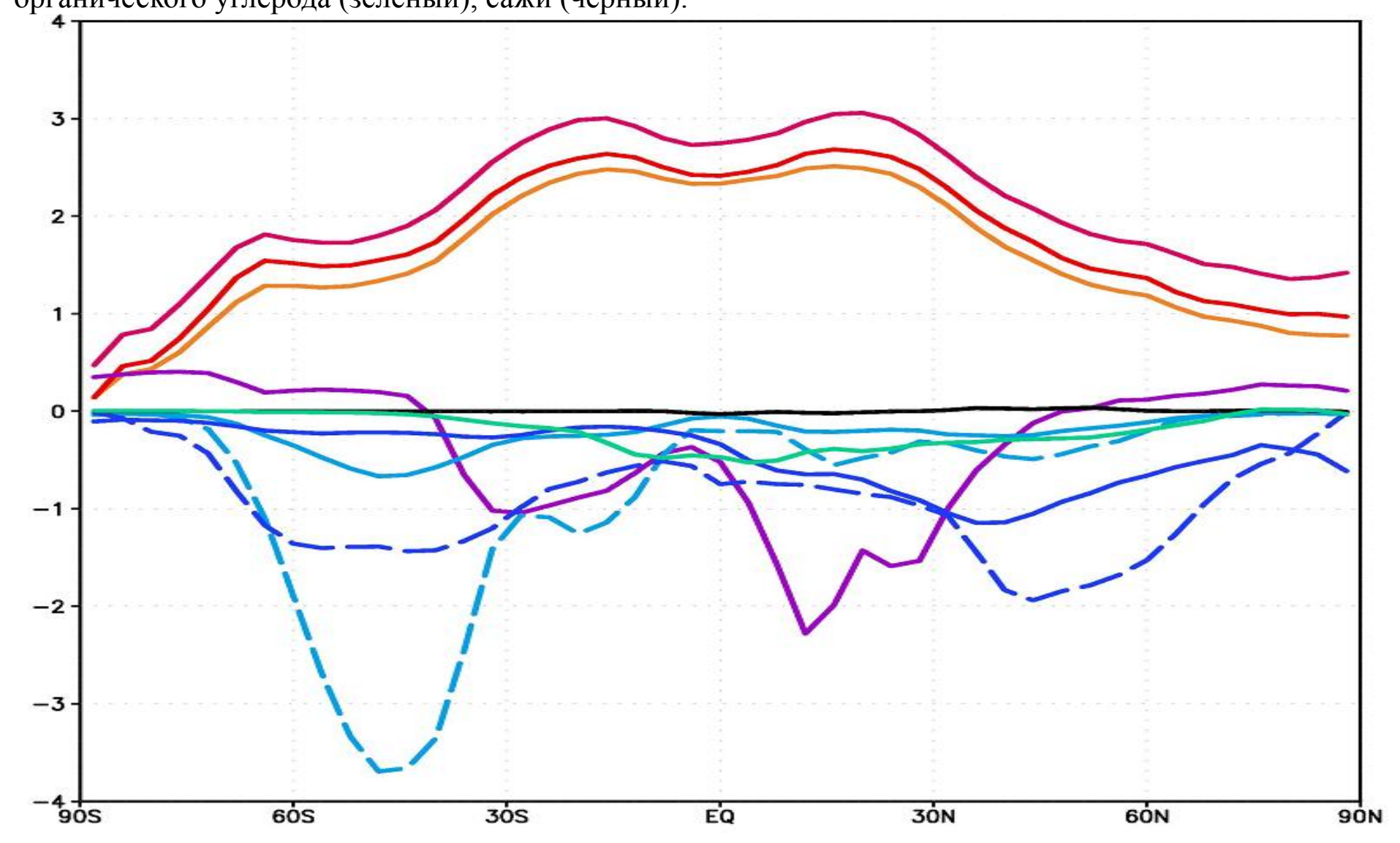
30N

60N

60s

3ÓS

Радиационные форсинги (Вт/м2) на верхней границе атмосферы вследствие наличия в атмосфере СО2 (темно-красный, значения умножены на 0.1), СН4 (красный), N2O (оранжевый), минеральной пыли (фиолетовый), сульфатного аэрозоля (сплошной синий – прямой эффект, штриховой синий – непрямой эффект), морской соли (сплошной голубой – прямой эффект, штриховой голубой – непрямой эффект), органического углерода (зеленый), сажи (черный).



Скорость радиационного нагревания (K/сут) вследствие наличия озона (желтый) и CO2 (темнокрасный) в модели

